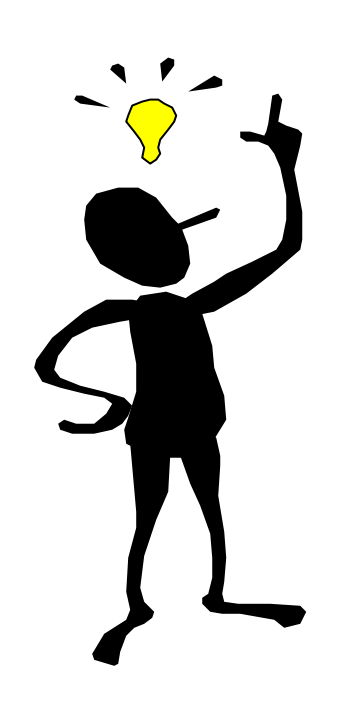
Das Erlangener Projektpraktikum



Eine Initiative zur
Erneuerung des
physikalischen
Anfängerpraktikums

- Thesen

- Das Praktikum ist besonders geeignet zur Herausbildung der wissenschaftlichen Methode im breiterem Sinne
- Das trahierte Praktikum übersieht leicht die Vermittlung der Experimentierkunst
- Eine Reform sollte besser auf die Anforderungen der Diplom-/ Zulassungsarbeit vorbereiten

- Ziele

- Erarbeitung physikalischer Grundkenntnisse und deren Überprüfung in Experimenten
- Selbständigkeit in Planung, Aufbau und Durchführung von Experimenten
- Befähigung zur *Teamarbeit*
- Kennenlernen moderner Meßmethoden
- Darstellung der eigenen Arbeit

- Bisherige Situation

- Zweisemestriges Anfängerpraktikum (3. & 4. Semester)
- 12 bzw. 11 Versuchstermine
- Feste Versuchsaufbauten mit festgelegtem Ablauf
- Stark unterschiedliche Dauer der Experimente (2- 4h)
- Vor- und Nachbereitung zu Hause
- Vesuchsreihenfolge häufig sachfremd
- 2-Gruppen
- Tutoren pr
 üfen Theorie und weisen in Apparatur ein
- Protokoll betont Theorie und Messwertanalyse, ist Grundlage für das Testat

- Reformmöglichkeiten

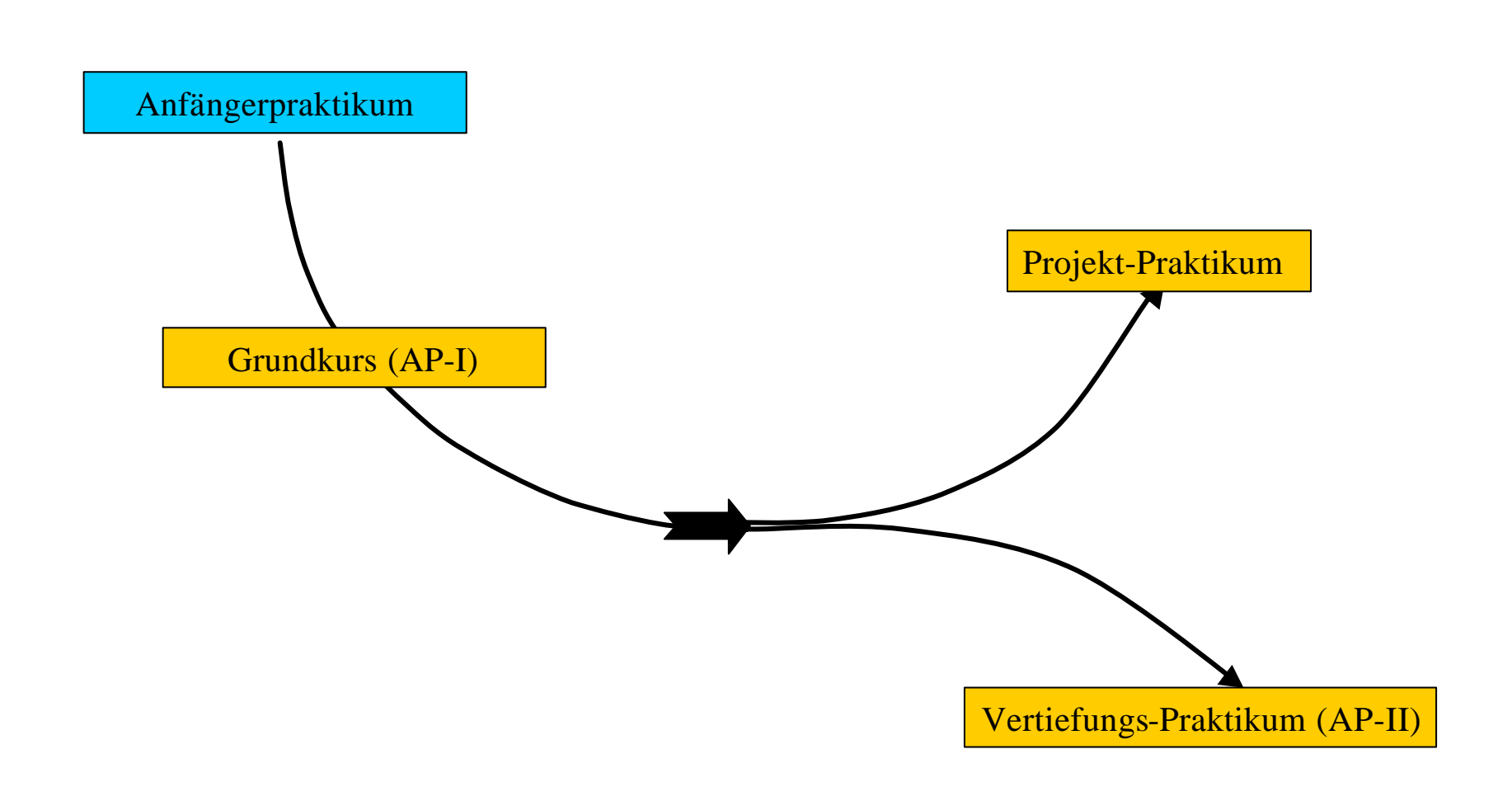
Behutsame Modernisierung des trahierten Anfängerpraktikums

Einführung eines neuen Praktikumtyps: Projektpraktikum

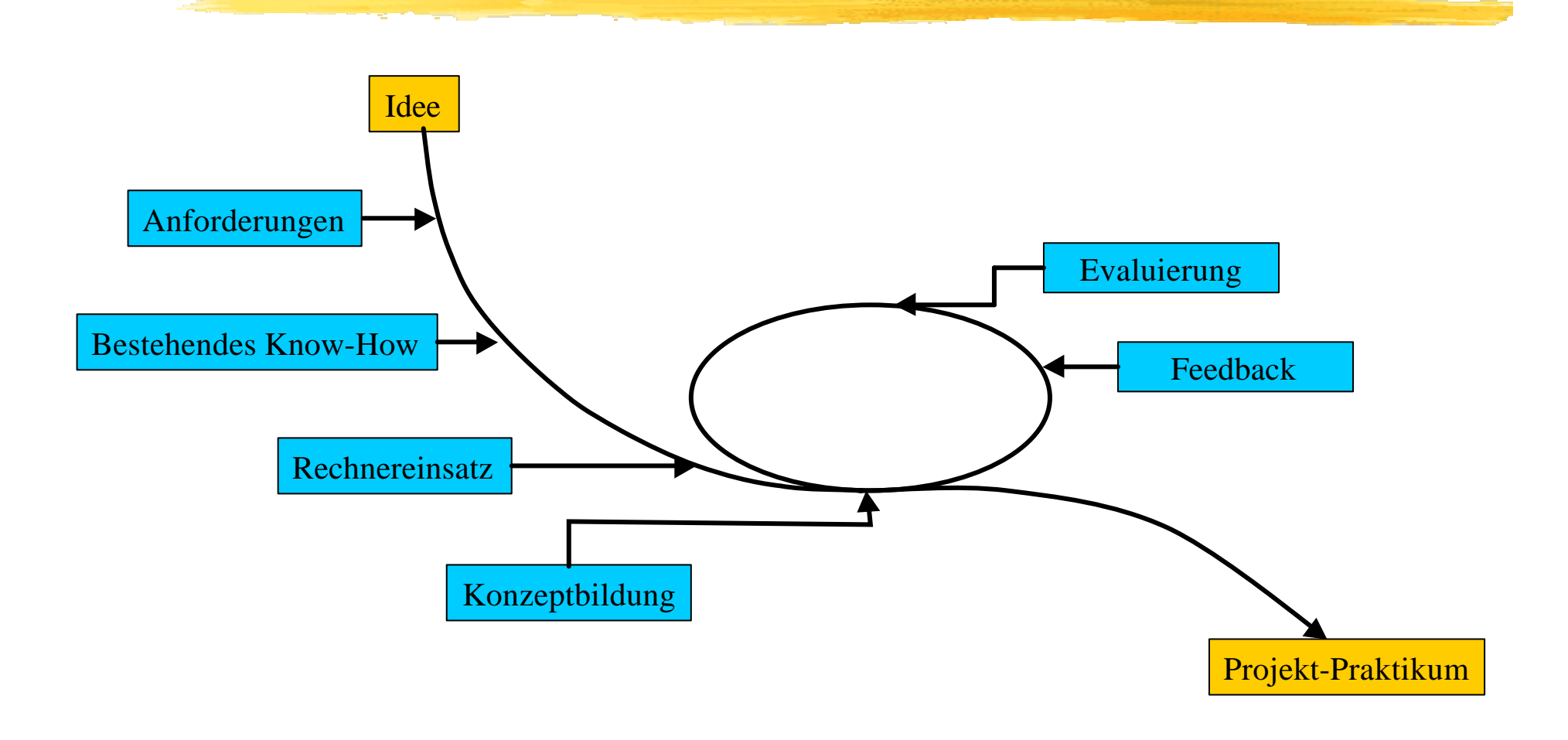
Probleme des Projektansatzes

- Vernachlässigung der "hard skills" gegenüber den "soft skills" ?
- Woher kommt das *Basiswissen*?
- Breite des vermittelten Wissens ?
- Black Box Physik ?
- Durchmogeln? (TEAM)
- *Überforderung* der Studenten?
- *Überforderung* der Durchführenden?

- Gesamtkonzept



- Methodisches Vorgehen



- PP-Konzept

- alternativ zum AP II
- Gruppen aus 5-6 Studenten + 1 Tutor
- eigene, zugewiesene Laborräume
- ständiger Zugang (eigene Schlüssel)
- eigenständige Themenwahl,aber 3 Hauptgebiete sind abzudecken(Mechanik, Optik, Akustik...)

- PP-Konzept

4 Projekte im Semester

→2 Einführungsprojekte á 2 Wochen

→2 Hauptprojekte á 4 Wochen

- eigenständige Aufgabenverteilung innerhalb der Gruppe
 - → Theorie, Literaturrecherche, Außenteam, Apparaturbau, Messen, Dokumentation...

- PP-Konzept

- Tutor
 - berät bei Themenwahl, Aufgabendefinition, Organisation, Durchführungsproblemen und Projektabschluß
 - →1 Pflichttreffen Gruppe + Tutor / Woche
- Abgabe eines Gemeinschaftsprotokolls eine Woche nach Projektabschluß
- Testatvergabe durch Praktikumsleitung
- Abschlußpräsentation am Semesterende im Plenum mit Vorstellung eines Projektes jeder Gruppe

- Allgemeine Resourcen

- 6 Experimentierräume
 - → 2 verdunkelt für Optikversuche
- 2 Besprechungszimmer
 - → mit Overhead / Internetzugang / Küche
- Sammlung mit Experimentiermaterial
 - z.B. diverses Stativmaterial, Netzgeräte, Oszilloskope, digitale Multimeter, Lötstation, Laser, Linsen, hochwertige Oberflächenspiegel, Motoren, Windkanal, Vakuumtisch ...

- Allgemeine Resourcen

- schwingungsgedämpfte Tische (für kritische Interferenz-Experimente und Holographie)
- Photolabor
- Nutzung der elektronischen und mechanischen Werkstatt
- Handbibliothek
- Rechner für Internetrecherche und Laserdrucker

- Rechner Resourcen

4 Rechner zur computergestützten Meßwerterfassung, Auswertung und Dokumentation mit internem Netzwerk

CASSY-S:

- 8-fach kaskadierbares, serielles Interface
- galvanisch getrennte Ein- und Ausgänge
- mikrokontrollergesteuert
- 2 analoge Spannungseingänge (12 bit)

Meßbereich: 0.3 / 1 / 3 / 10 / 30 / 100 V G 1 %

Abtastrate: 100 khZ

1 analoger Spannungseingang

Meßbereich: 0.1 / 0.3 / 1 / 3 A

- 4 Timereingänge mit 32 bit-Zählern
- 1 Umschaltrelais
- 1 schaltbare Spannungsversorgung

- Rechner Resourcen

CASSY-S:

Sensoren zum Messen von

Bewegungen

Kräften

Drücken

Temperaturen

Beleuchtungsstärken

Magnetfeldern

anschließbar sind

Lichtschranken

Geiger-Müller-Zählrohr

Mikrophone ...

- Rechner Resourcen

- Modellbildung mit "Powersim"-Software zur Simulation (quantitativ und qualitativ) dynamischer Systeme
- Camcorder, Videokarte und "Videopoint"-Software zur Digitalisierung und Datenauswertung von Videos.
- StarOffice-Paket, TeX und Auswertesoftware
- (Liste mit Versuchsvorschlägen)

- Durchführung

- Teilnehmerzahl: 28 Studenten (= 70 %)
- 5 Gruppen (3 á 6, 2 á 5 Studenten)
- Problem: Vordiplom-Prüfungszeitraum in der zweiten Semesterhälfte für Erasmus-Studenten

- Durchgeführte Versuche '99

- Spektroskopische Untersuchung einer mikrowelleninduzierten Leuchterscheinung
- Schallwellen im Medium
- Der akustische Dopplereffekt
- Bau einer Magnetschwebebahn
- Strömungsphysik im Windkanal
- Distanzbestimmung mit dem Doppelfernrohr
- Geschwindigkeitsmessung mittels Dopplereffekt bei Mikrowellen
- Messung der Schallgeschwindigkeit in verschiedenen Medien
- Tunneleffekt bei Mikrowellen
- Bau einer "Railgun"
- Alternative Energiequellen

- Die Wasserrakete in Experiment und Theorie
- Nachweis der Sonolumineszenz
- Messung an einer Dardabahn: Beschleunigung und Geschwindigkeit
- Bestimmung des Luftwiderstandbeiwertes
- Holographie
- Operationsverstärker
- Distanzbestimmung mit Ultraschallpulsen
- Evaluierung verschiedener Beschleunigungsarten
- Bestimmung der Lichtgeschwindigkeit mit der Drehspiegelmethode

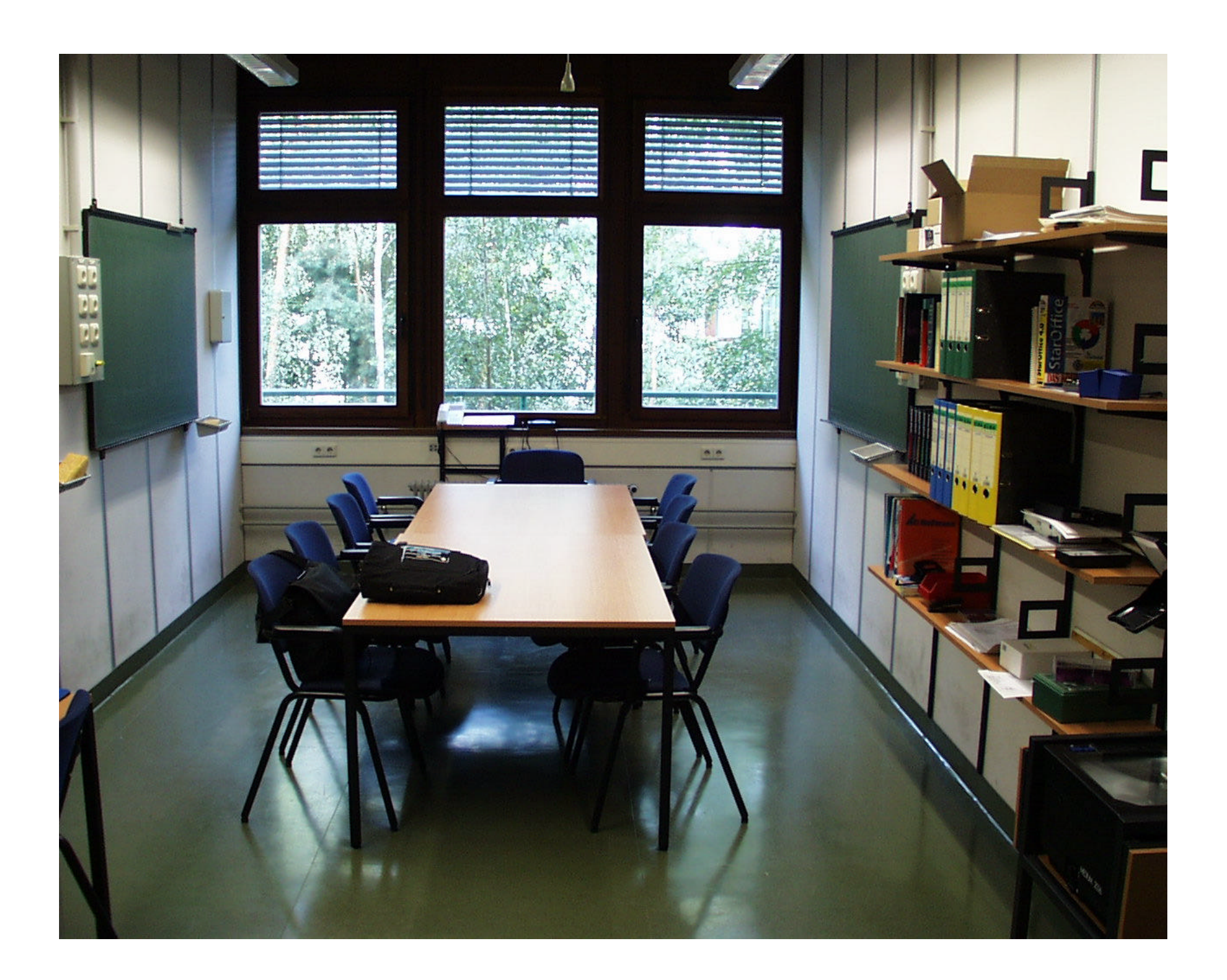
Das virtuelle Projektpraktikum









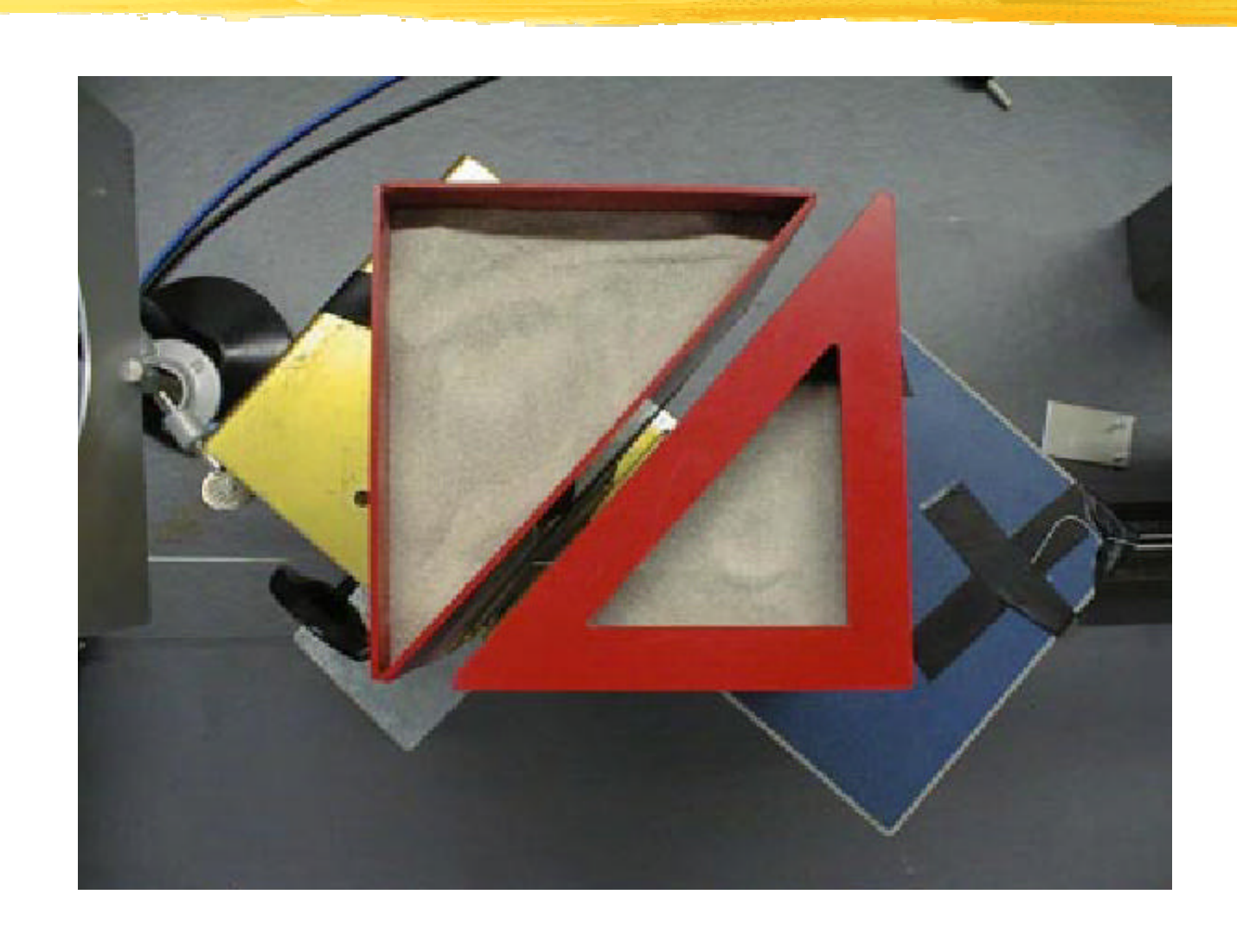












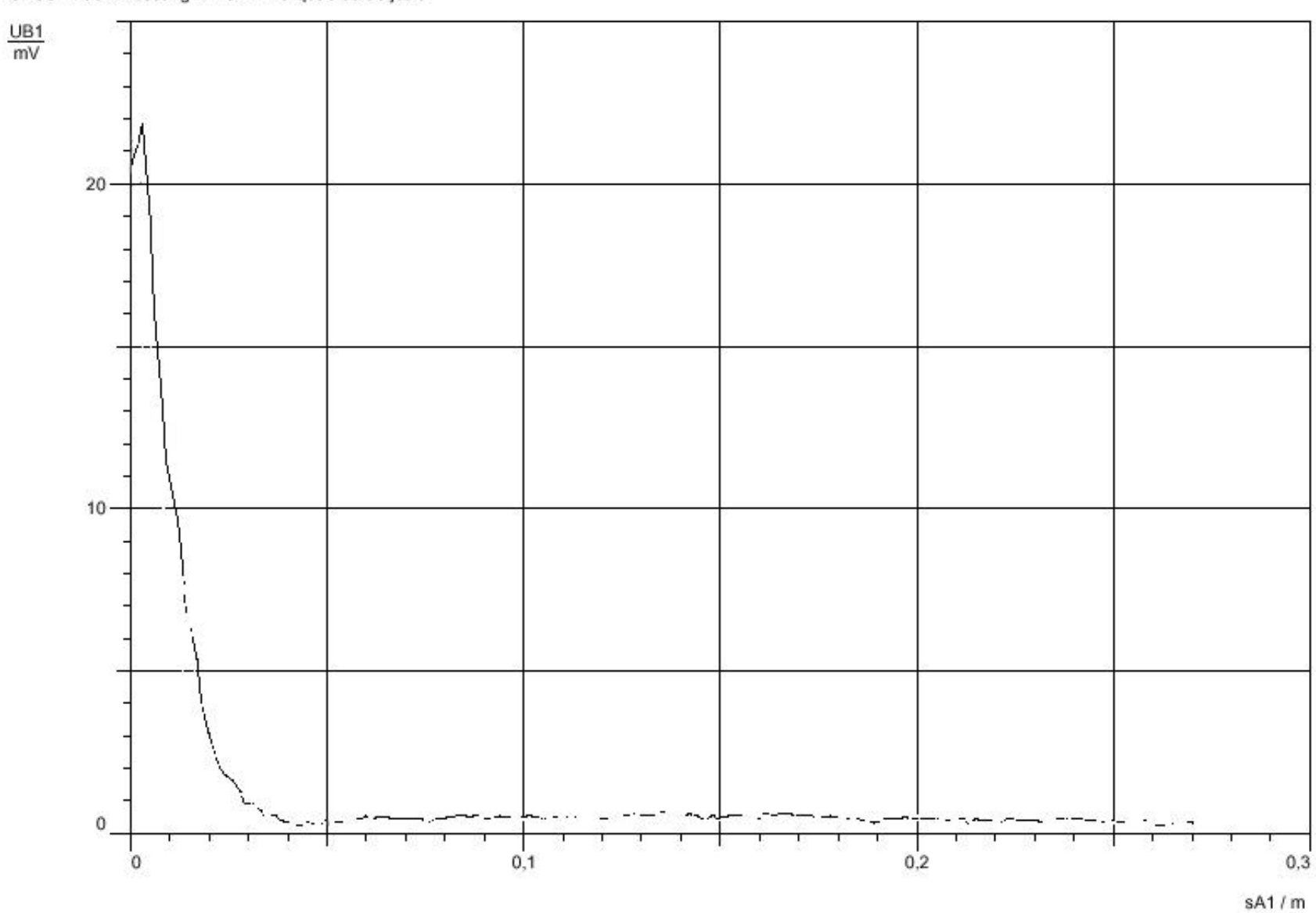


Abbildung 11: Intensität aufgetragen auf Tunnelstrecke

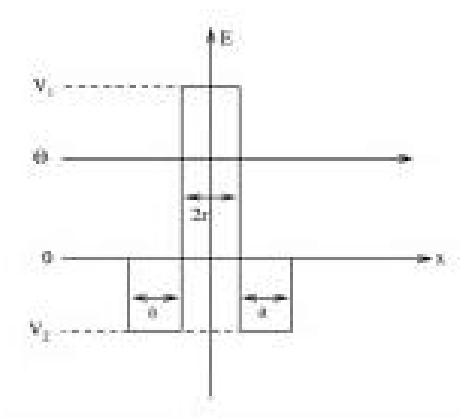


Abbildung 5: Potential für den Tangeleffeld mit Prismen

Da wir wie in (10) beschrieben, die Wellenzahl k nicht mit Hilfe der Schrödingergleichung berechnen, also nicht direkt Potentialunterschiede betrachten, handelt es sich bei Abb. 8 mur um ein Pseudo-Potential. Dies hat keinen realen physikalischen Hintergrund, sondern dient nur zur Veranschaußehung der Zusammenhänge mit dem quantenmechanischen Tunnelessekt.

Wir lösen dieses Problem genauso wie in 1.4 mit folgenden Gleichungen:

$$\varphi_1 := e^{ikx} + Ae^{-ikx}$$
(41)

$$\varphi_2 := Be^{i\kappa x} + Ce^{-i\kappa x}$$
(42)

$$\varphi_3 := De^{i\xi x} + Ee^{-i\xi x} \qquad (43)$$

$$\varphi_4 := Fe^{i\kappa x} + Ge^{-i\kappa x}$$
(44)

$$\varphi_{\lambda} := He^{ik\alpha}$$
 (45)

und den folgenden Anschlußbedingungen:

$$\varphi_1(-a-r) = \varphi_2(-a-r)$$
 (46)

$$\varphi'_1(-a-r) = \varphi'_2(-a-r) \qquad (47)$$

$$\varphi_2(-r) = \varphi_3(-r) \qquad (48)$$

$$\varphi'_{2}(-r) = \varphi'_{3}(-r)$$
 (49)

$$\varphi_2(r) = \varphi_4(r)$$
 (50)

$$\varphi'_{3}(r) = \varphi'_{4}(r)$$
 (51)

$$\varphi_i(a + r) = \varphi_i(a + r)$$
 (52)

$$\varphi'_{s}(a+r) = \varphi'_{s}(a+r)$$
 (53)

Nach der Berechnung mit MAPLE ergibt sich für den Koeffizienten H, der der Amplitude der auslaufenden Welle enspricht:

$$H:=16\xi k\kappa^2 e^{(-2i(kr+ka-\kappa a-\xi r))} \left/ (-2\xi^2 k\kappa e^{(4i\xi r)} + 2\xi k^2 \kappa e^{(4i\xi r)} \right.$$

$$\begin{split} &+4\xi k\kappa^{2}e^{(44\xi r)}-2\xi k^{2}\kappa e_{1}-4i\sin(2\xi r)k^{2}\kappa^{2}e_{3}+\xi^{2}\kappa^{2}e_{2}\\ &+4i\sin(2\xi r)\xi^{2}k^{2}e_{3}-4i\sin(2\xi r)\xi^{2}\kappa^{2}e_{3}-\kappa^{4}e_{1}+\kappa^{4}e_{2}+2k\kappa^{3}e_{1}\\ &+k^{2}\kappa^{2}e_{2}-2\xi^{2}k\kappa e_{2}-2\xi k^{2}\kappa e_{2}+4\xi k\kappa^{2}e_{2}+k^{2}\kappa^{2}+\xi^{2}\kappa^{2}+\xi^{2}k^{2}\\ &+2\kappa^{3}\xi+2k\kappa^{3}+2\xi^{2}k\kappa+2\xi k^{2}\kappa+4\xi k\kappa^{2}+\xi^{2}k^{2}e_{2}+4i\sin(2\xi r)\kappa^{4}e_{3}\\ &+4\xi k\kappa^{2}e_{1}+2\xi^{2}k\kappa e_{1}-2\kappa^{3}\xi e_{2}-2k\kappa^{3}e_{2}-\kappa^{4}e^{(4i\xi r)}-\xi^{2}\kappa^{2}e_{1}\\ &-k^{2}\kappa^{2}e^{(6i\xi r)}-2k\kappa^{3}e^{(6i\xi r)}+2\kappa^{3}\xi e^{(4i\xi r)}-\xi^{2}\kappa^{2}e^{(4i\xi r)}+\kappa^{4}-2\kappa^{3}\xi e_{1}\\ &-\xi^{2}k^{2}e_{1}-k^{2}\kappa^{2}e_{1}-\xi^{2}k^{2}e^{(6i\xi r)})\end{split}$$

mit
$$e_1 := e^{4i\alpha \epsilon + (r)}$$

 $e_2 := e^{4i\alpha \epsilon}$
 $e_3 := e^{2i(\alpha \epsilon + \ell r)}$ (54)

Analog zu (37) gibt das Betragsquadrat von H die Transmissionswahrscheinlichkeit an.

Die Konstanten k und κ berechnen sich gemäß Formel (38) unter Verwendung der Mikrowellenfrequenz $f = 9.35 \,GHz$ und dem Brechungsindex n = 1.65 im Sand zu:

$$k = 195.97 m^{-1}$$
 (55)

$$\kappa = 323.34 \, m^{-1}$$
(56)

Die Strecke im Sand beträgt pro Prisma:

$$a - 6.0 cm$$
 (57)

Da wir mit dem Empfänger die Intensität der auslaufenden Welle messen, plotten wir das Betragsquadrat (ohne Einheit) der Wellenfunktion bei x > r + a hinter dem Tunnel für verschiedene imaginäre ξ in Abhängigkeit der Tunnelstrecke l = 2r:

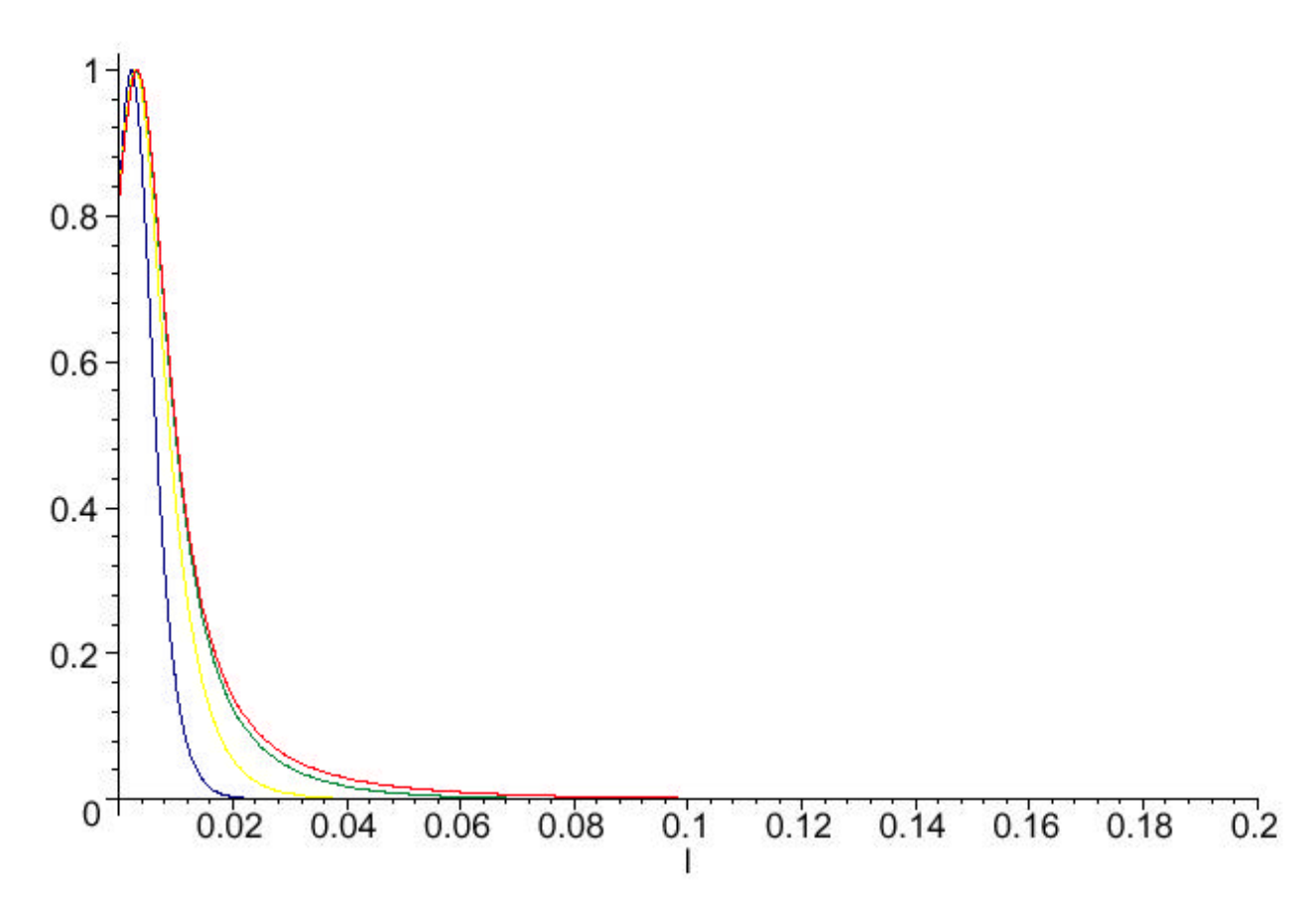
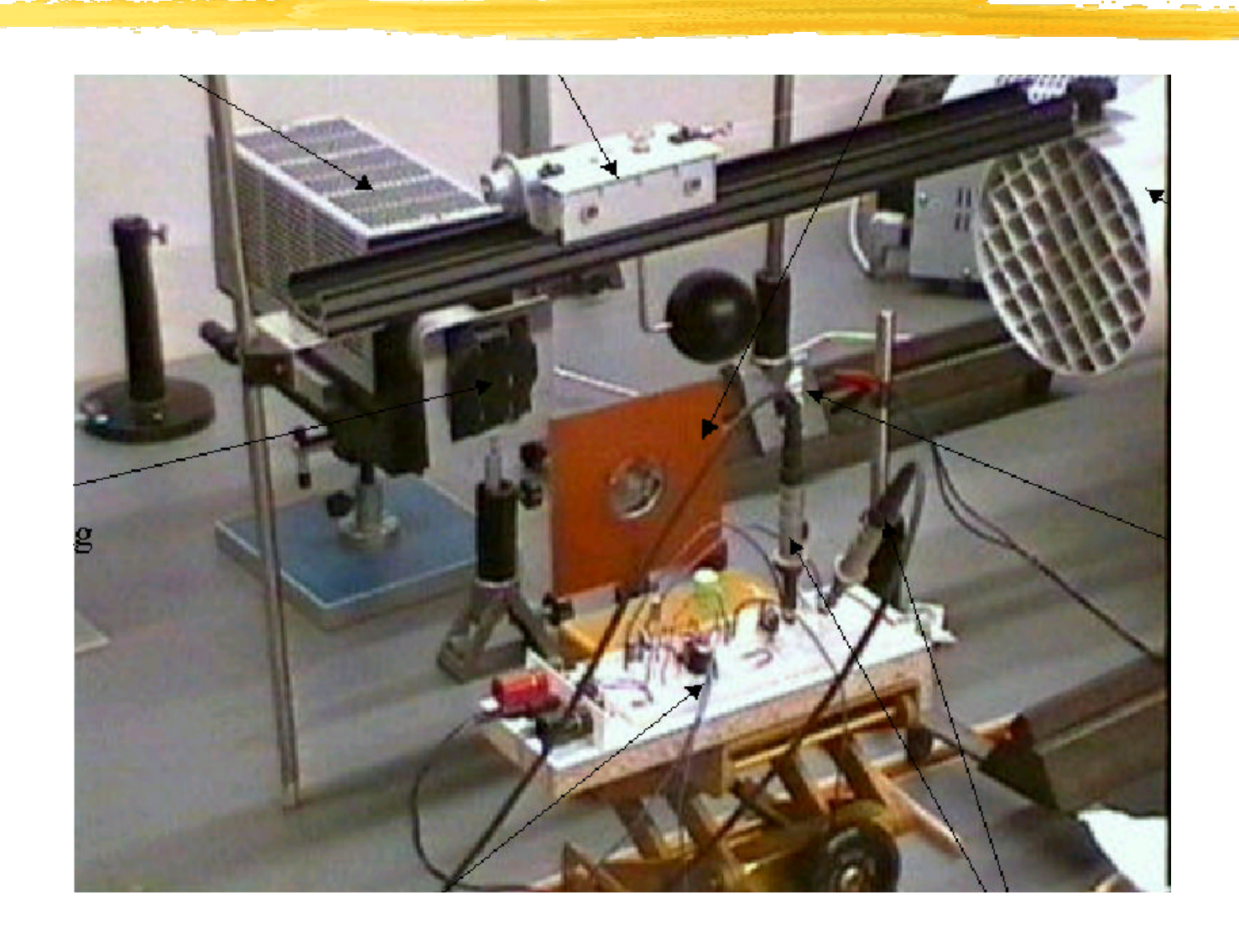
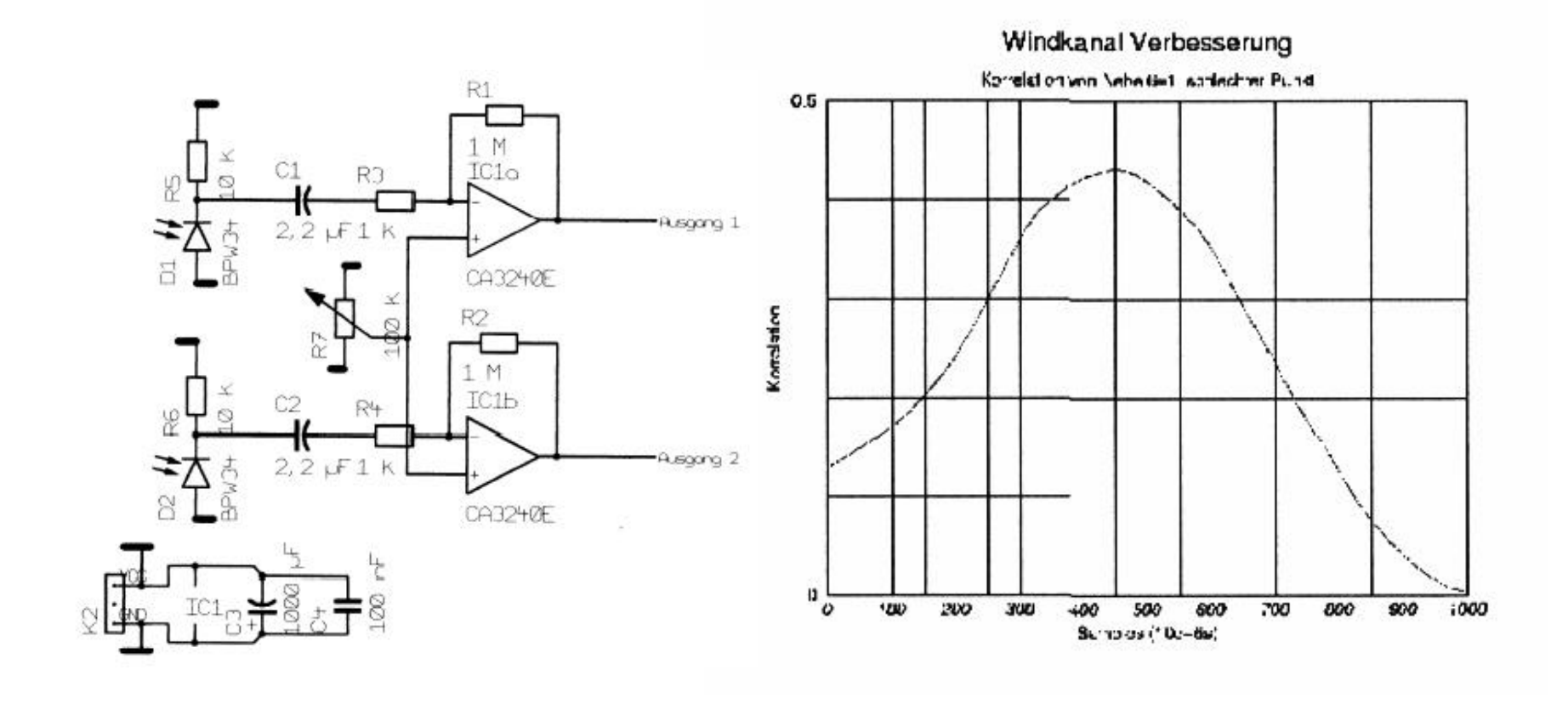
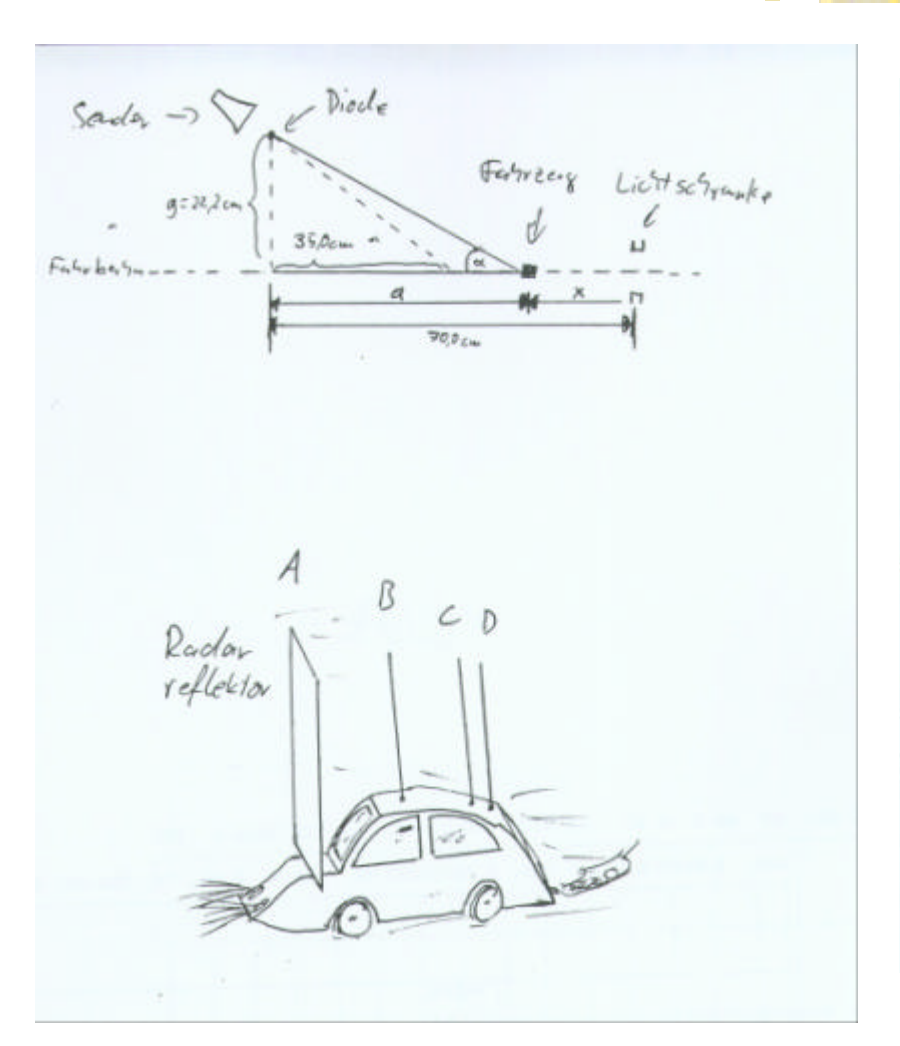
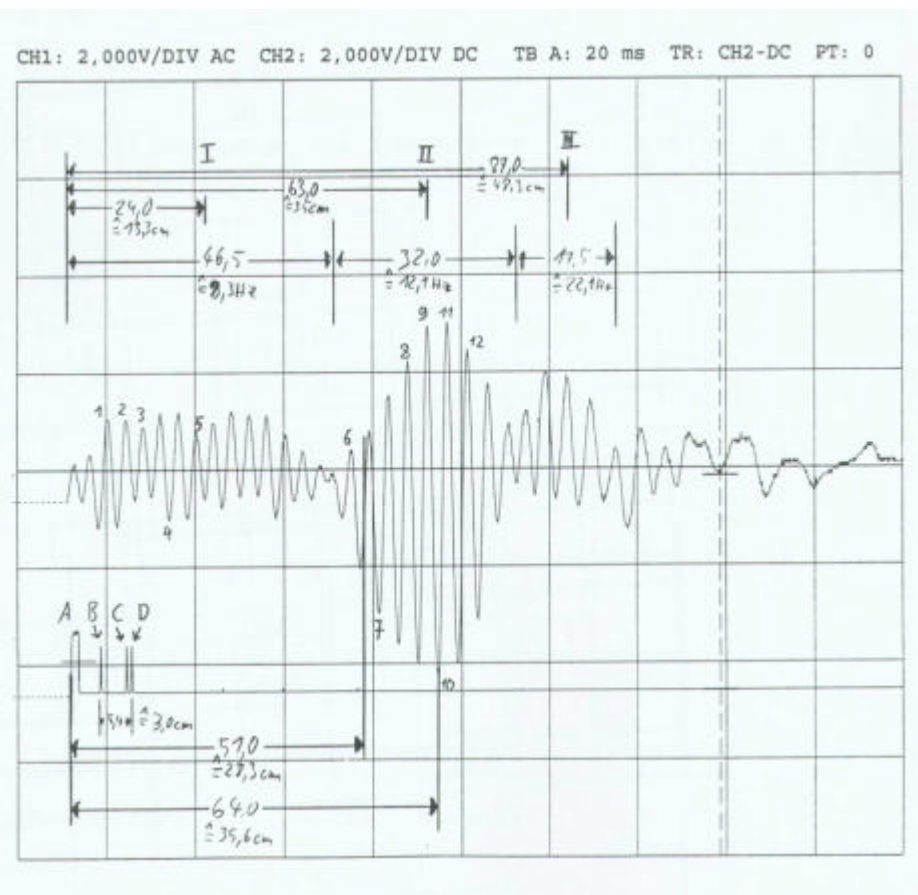


Abbildung 9: Intensität hinter Tunnel: in rot $\xi = 0.1 \cdot ik$; grün $\xi = 0.2 \cdot ik$; gelb $\xi = 0.5 \cdot ik$; blau $\xi = ik$ (mit $k = k_{\text{Luft}}$)

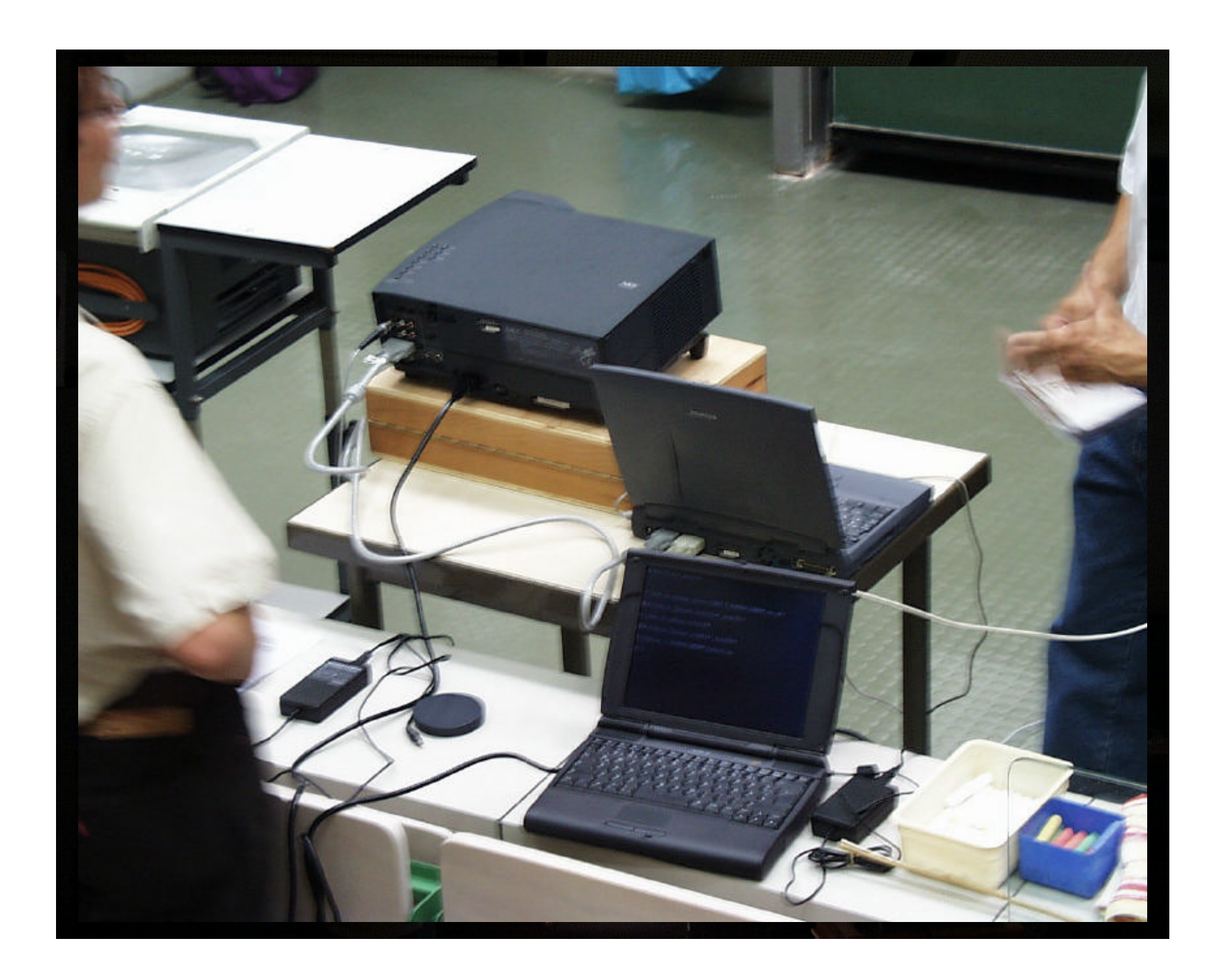




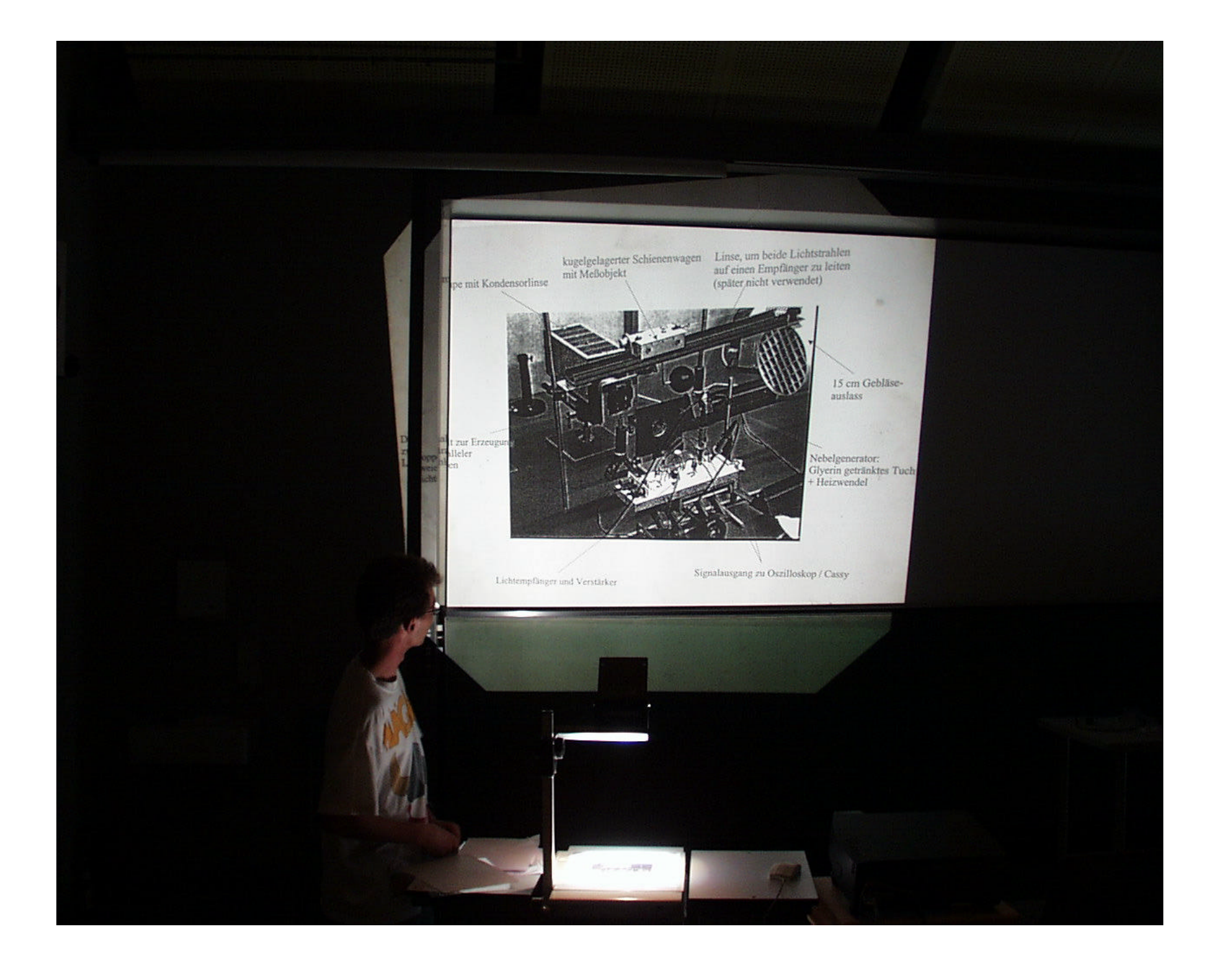


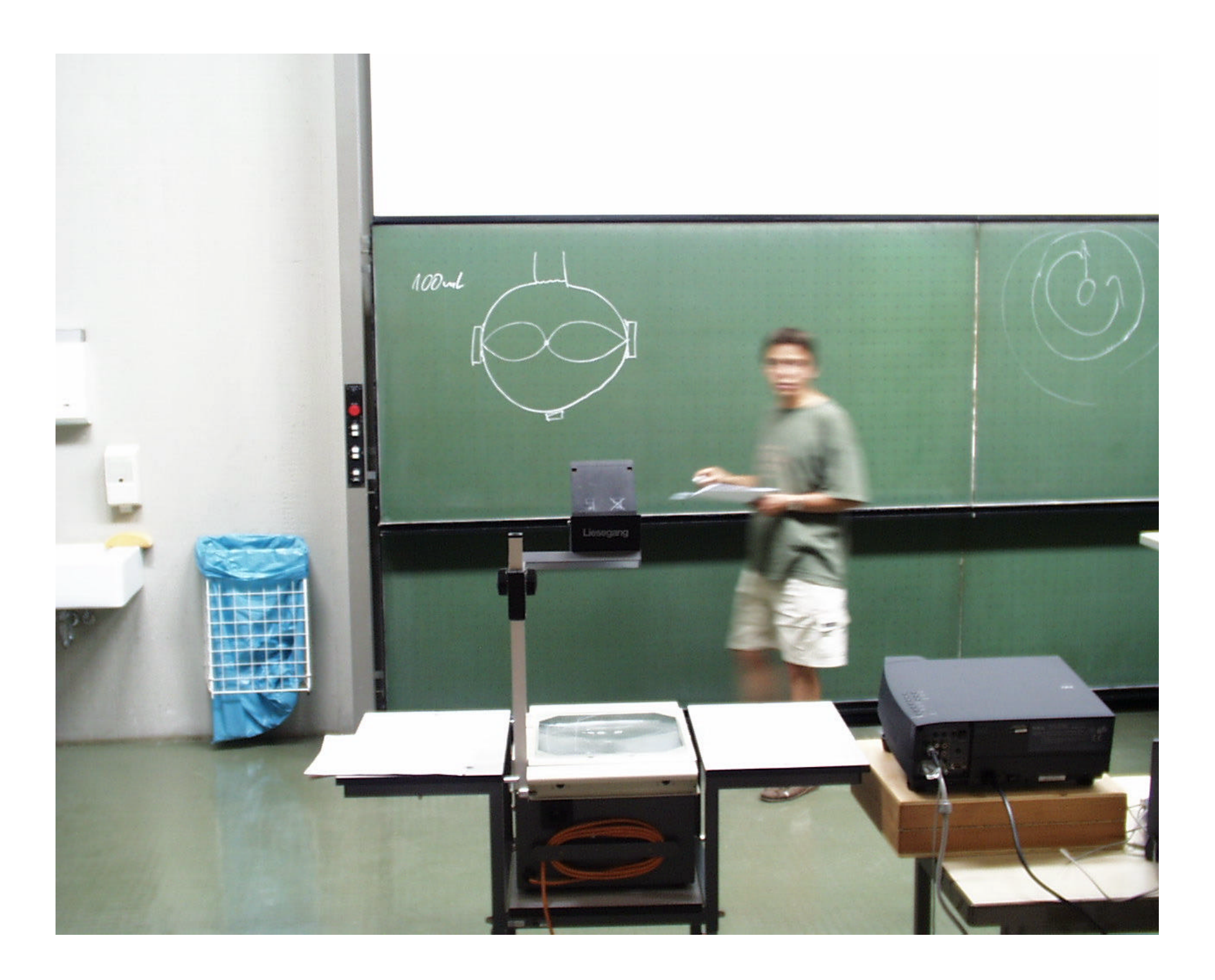


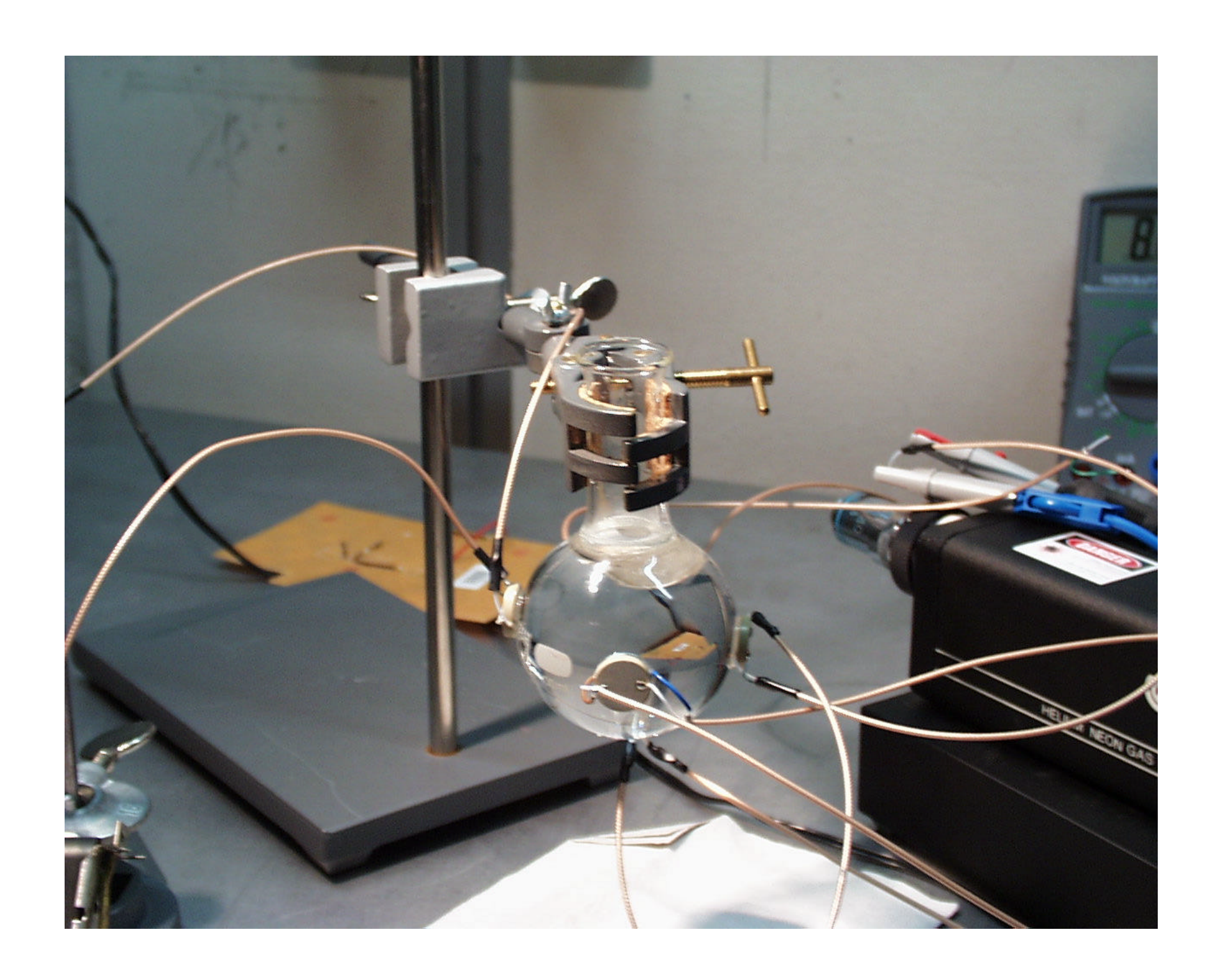








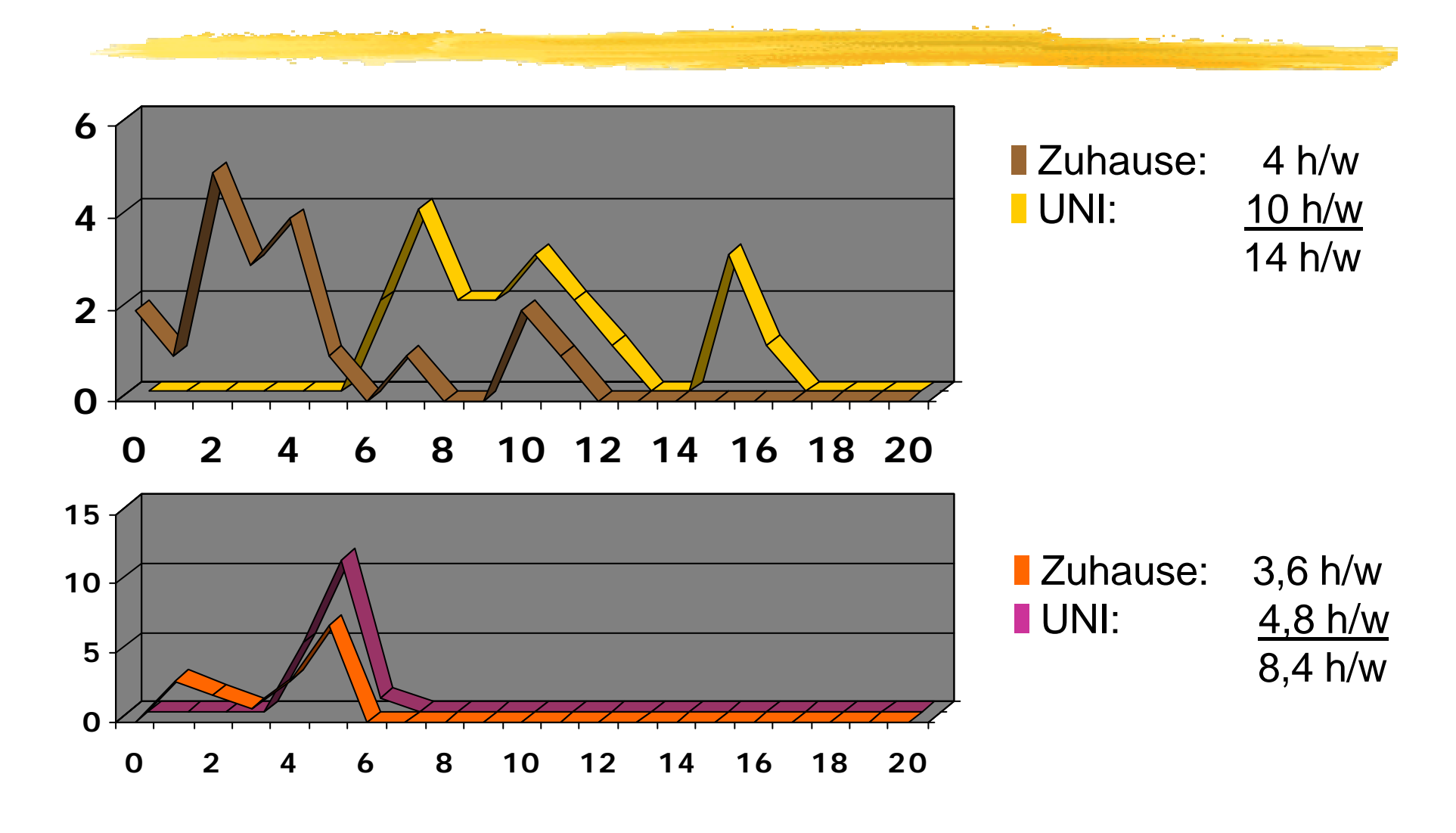




Evaluierung

- Selbsteinschätzung von PP und AP-I
- Anonymer Fragebogen am Ende des PPs
- Rücklaufquote: 75 %

- Zeitaufwand



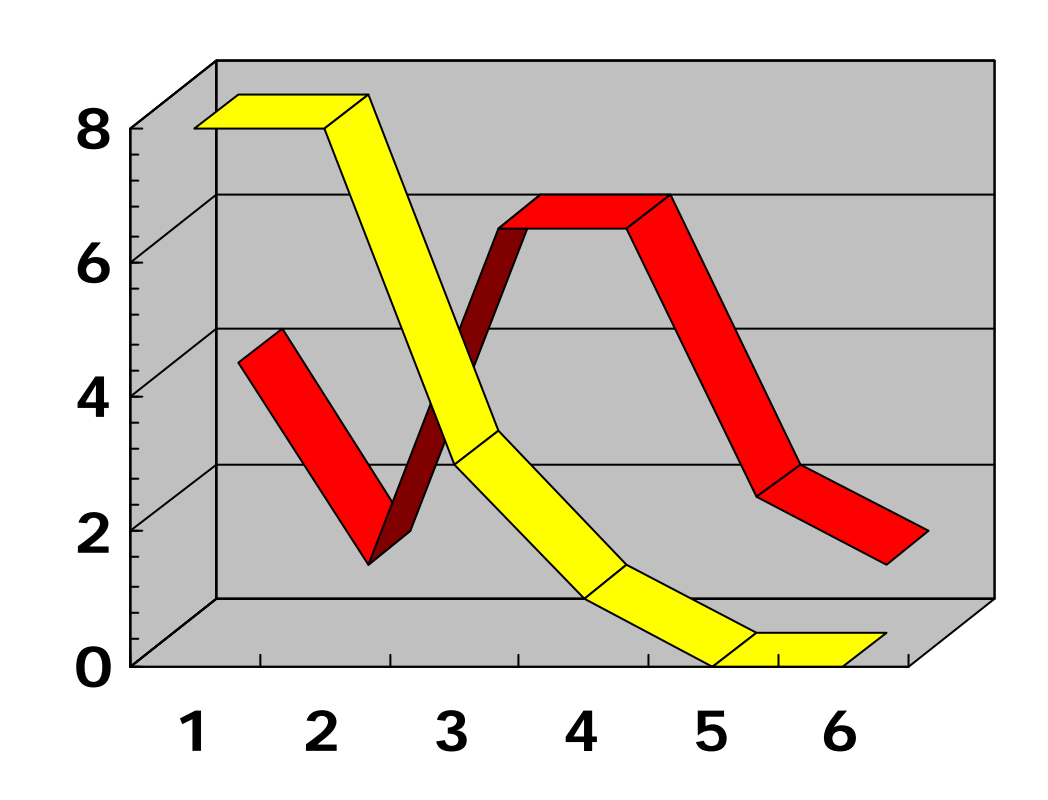
- Konzeptakzeptanz

Gruppengröße OK:	85 %
Arbeitsbelastung war gerecht verteilt:	75 %
Arbeitsumgebung OK:	73 %
2x2 + 2x4 Modell OK:	74 %
Projektabschluß befriedigend:	85 %
AP-I war wichtige Basis:	62 %

- LZ: Theorie und Praxis verbinden

PP: 1,9

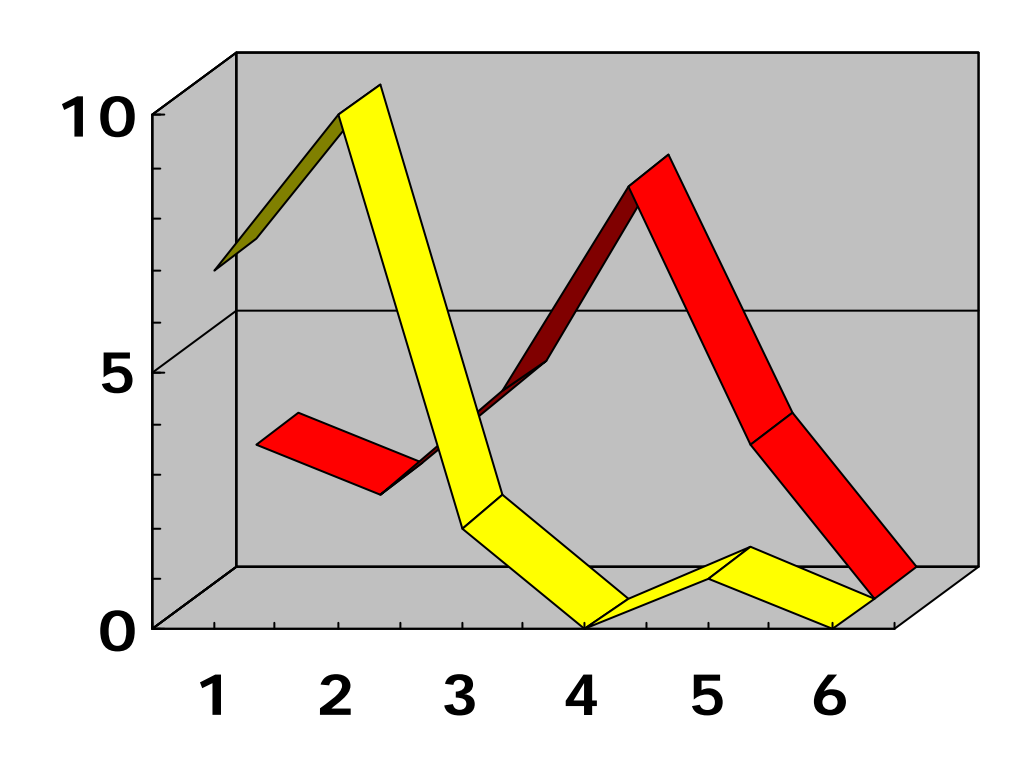
AP1: 3,2



- LZ: Experimentelle Fähigkeiten

PP: 1,9

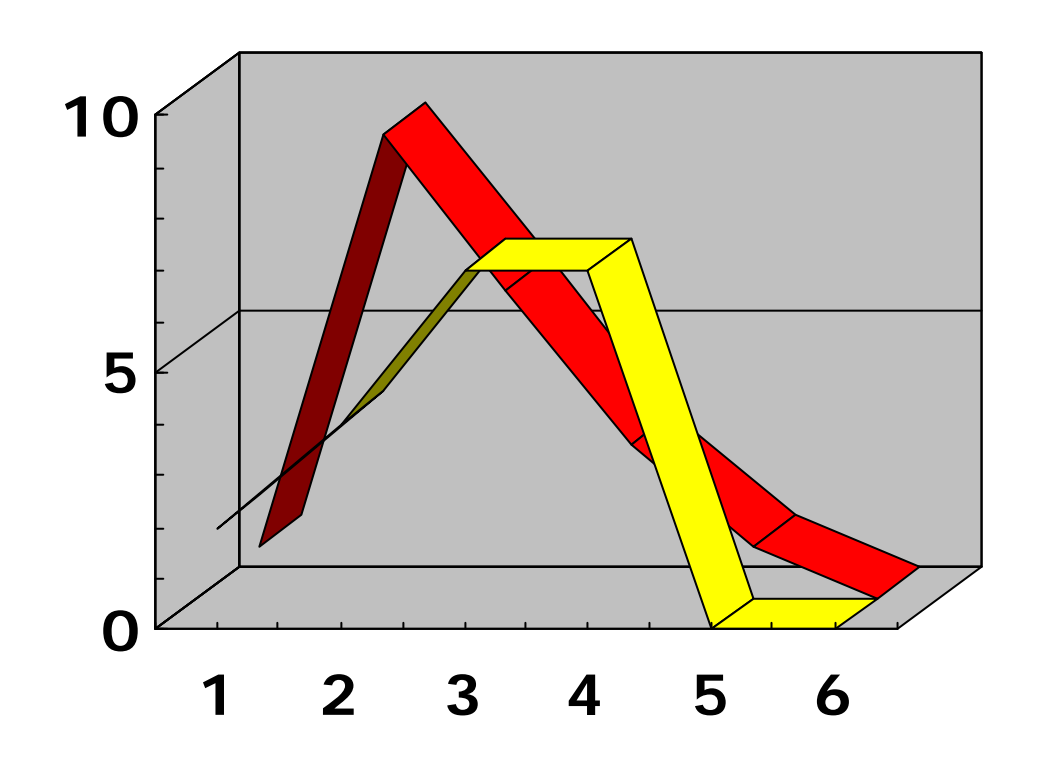
■ AP1: 3,3



- LZ: Theorie

PP: 3,0

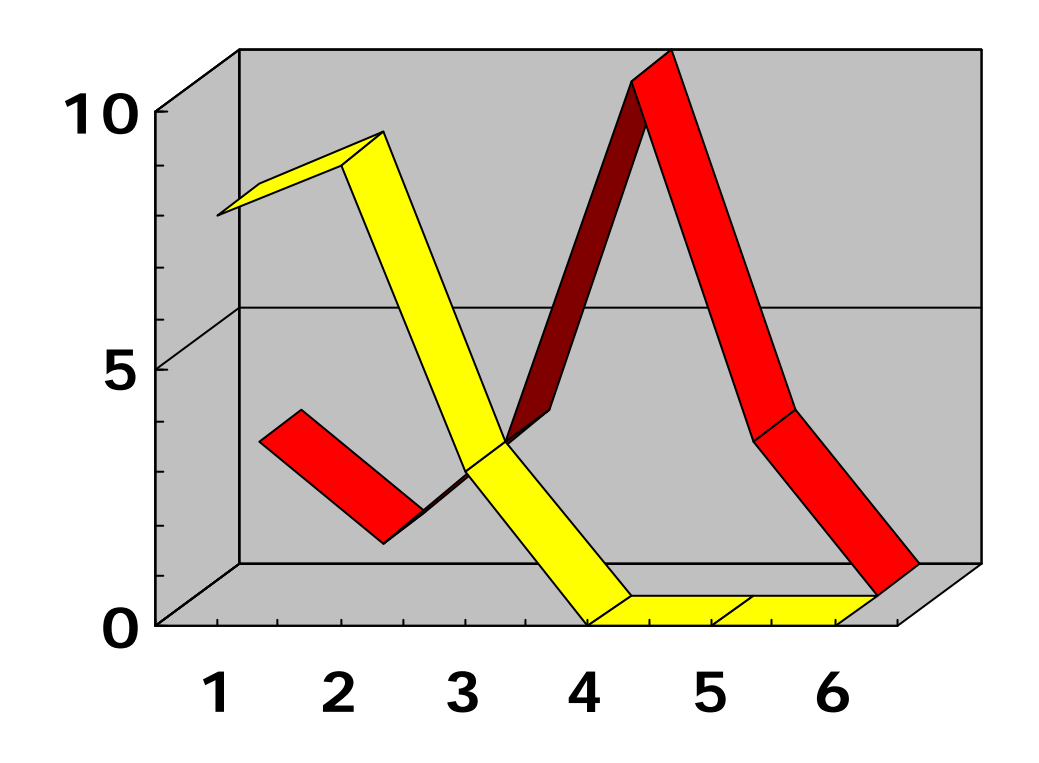
■ AP1: 2,7



- LZ: Problemerkennung

PP: 1,8

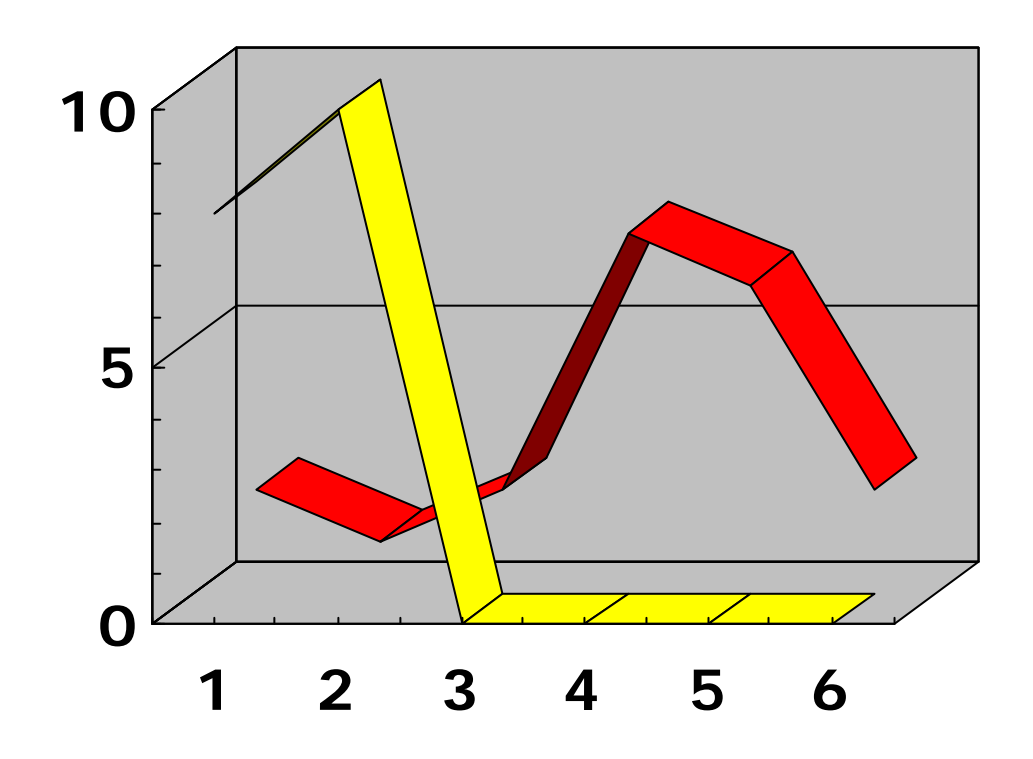
■ AP1: 3,5



- LZ: Problemlösung

PP: 1,6

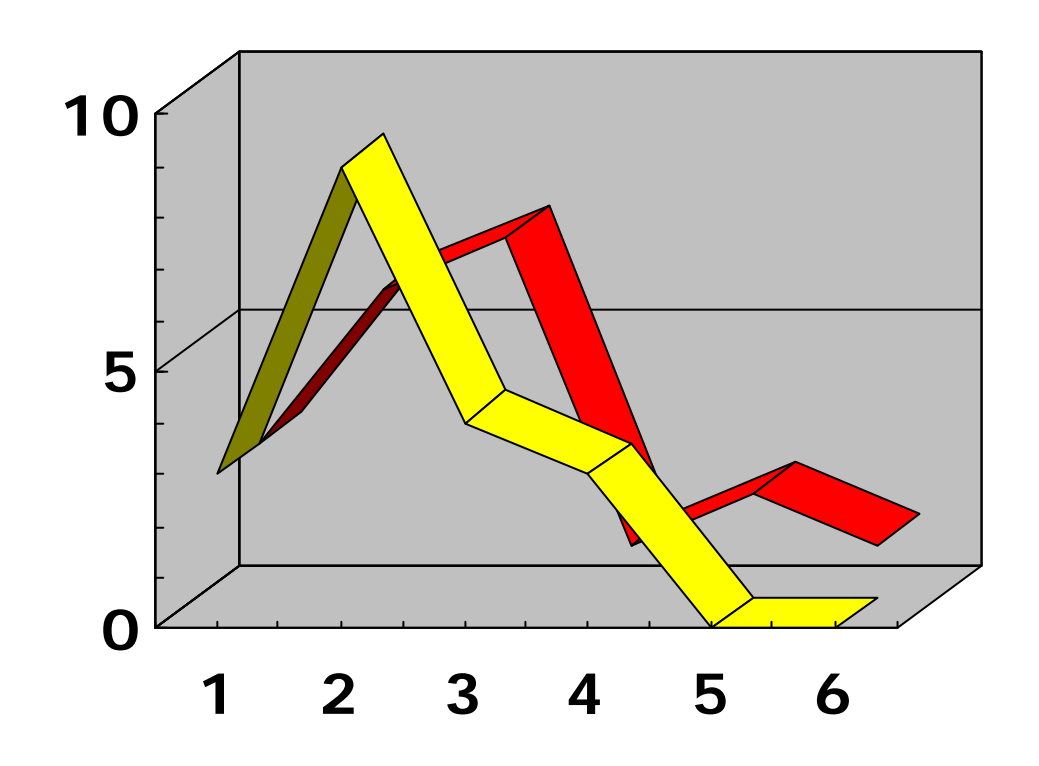
AP1: 4,0



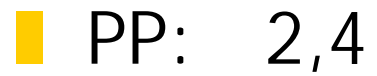
- LZ: Auswertung

PP: 2,4

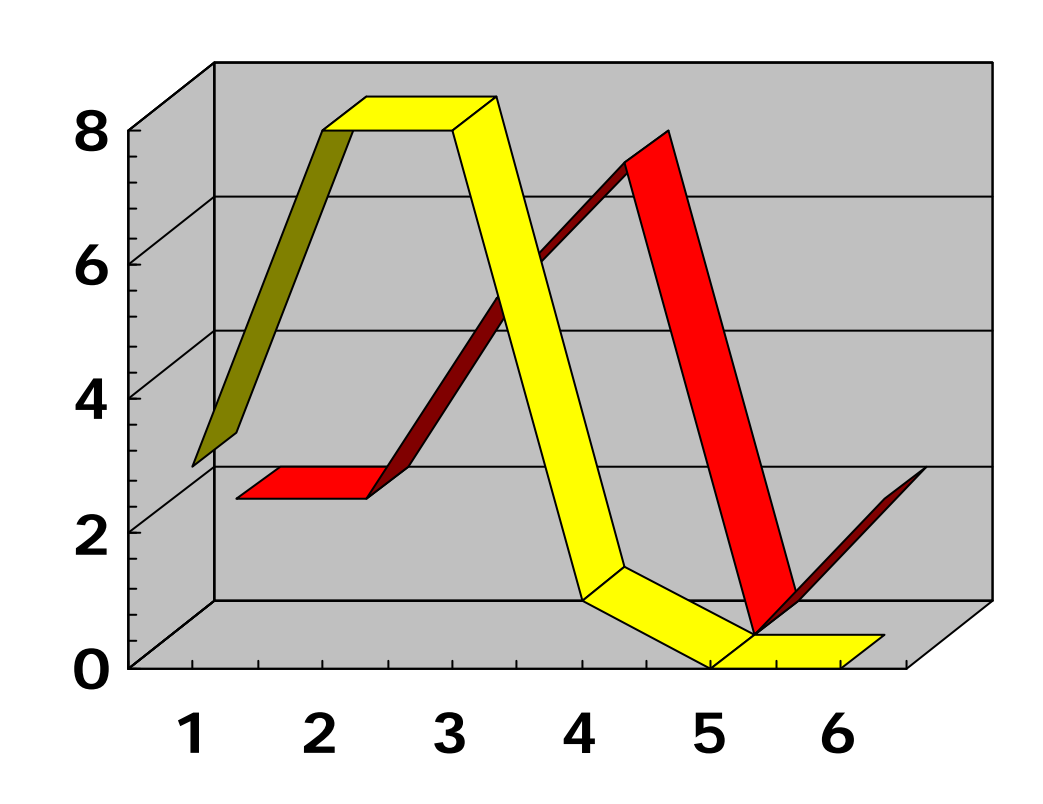
■ AP1: 2,8



- LZ: Soziale Kompetenz



■ AP1: 3,4



Fine

- Empfehlen Sie das PP ihren Kollegen?
 - JA: 100 % (!)

Dank an Beteiligte, Geldgeber und Studenten!

http://pp.physik.uni-erlangen.de